

LOCALISATION DES POINTS FIXES COMMUNS POUR DES DIFFÉOMORPHISMES COMMUTANTS DU PLAN

S. FIRMO

RÉSUMÉ. On démontre que si $G \subset \text{Diff}^1(\mathbb{R}^2)$ est un sous-groupe abélien engendré par une famille quelconque de difféomorphismes de \mathbb{R}^2 qui sont C^1 -proches de l'identité (pour la C^1 -topologie de Whitney) et, s'il existe un point $p \in \mathbb{R}^2$ dont l'orbite par G est bornée, alors les éléments de G ont un point fixe commun dans l'enveloppe convexe de $\overline{\mathcal{O}_p(G)}$. Ici, $\overline{\mathcal{O}_p(G)}$ est l'adhérence topologique de l'orbite de p par G .

1. INTRODUCTION

Récemment, Franks-Handel-Parwani ont démontré dans [3], que si G est un sous-groupe abélien de $\text{Diff}_+^1(\mathbb{R}^2)$ engendré par un nombre fini d'éléments et, s'il existe un point $p \in \mathbb{R}^2$ dont l'orbite par G est bornée, alors les éléments de G possèdent un point fixe commun.

En 1989, Bonatti avait démontré l'existence des points fixes communs pour les sous-groupes abéliens de $\text{Diff}^1(S^2)$ engendrés par des difféomorphismes C^1 -proches de l'identité.

En adaptant la stratégie de Bonatti dans [1], on donne une version du théorème de Franks-Handel-Parwani qui nous permet de localiser le point fixe commun. Cela permet aussi d'avoir une version valide pour une famille quelconque de difféomorphismes commutants qui sont C^1 -proches de l'identité. Précisément, on démontre le résultat suivant.

Théorème 1.1. *Il existe un voisinage \mathcal{V} de l'identité dans $\text{Diff}^1(\mathbb{R}^2)$ muni de la C^1 -topologie de Whitney avec la propriété suivante.*

Si $G \subset \text{Diff}^1(\mathbb{R}^2)$ est un sous-groupe abélien engendré par une famille quelconque d'éléments de \mathcal{V} et s'il existe un point $p \in \mathbb{R}^2$ dont l'orbite par G est bornée, alors les éléments de G possèdent un point fixe commun dans l'enveloppe convexe de $\overline{\mathcal{O}_p(G)}$.

Dans le cas où le groupe G est finiment engendré, on peut être un peu plus précis par rapport à l'ensemble de localisation du point fixe commun (voir théorème 6.1).

Le voisinage \mathcal{V} cité dans le théorème est un voisinage de type

$$\left\{ f \in \text{Diff}^1(\mathbb{R}^2) ; \|f(x) - x\|, \|Df(x) - Id\| < \epsilon \text{ sur } \mathbb{R}^2 \right\}$$

pour $\epsilon > 0$ choisi suffisamment petit.

Date: 30 octobre 2021.

1991 Mathematics Subject Classification. 37E30, 37C25.

Key words and phrases. point fixe commun, difféomorphisme, enveloppe convexe, indice, groupe abélien.

L'idée de la preuve est simple. On commence par fixer un ensemble \mathcal{F} de générateurs de G formé par des difféomorphismes C^1 -proches de l'identité et on considère $f \in \mathcal{F}$. Tout d'abord, on garantit l'existence d'un point fixe q pour f dont l'orbite par les autres générateurs du groupe est contenue dans l'enveloppe convexe de $\overline{\mathcal{O}_p(G)}$. En répétant le même processus avec le point q et un autre difféomorphisme de \mathcal{F} , on trouve un point fixe commun pour ces deux difféomorphismes dont l'orbite par les autres générateurs reste dans l'enveloppe convexe de $\overline{\mathcal{O}_p(G)}$. Ainsi, on montre le résultat pour un nombre fini de difféomorphismes de l'ensemble \mathcal{F} . Le point clé dans ce contexte est démontrer que la G -orbite du premier point fixe trouvé reste contenue dans l'enveloppe convexe de $\overline{\mathcal{O}_p(G)}$. Pour cela, on a besoin de trouver un point fixe pour f dont l'indice par rapport à une famille de courbes construite à partir de la f -orbite du point p soit non nul.

Ensuite, on passe du cas finiment engendré au cas général en utilisant la propriété d'intersection finie pour une famille de compacts.

Le fait d'être C^1 -proche de l'identité est essentielle dans le théorème 1.1. On peut construire des difféomorphismes de classe C^∞ dans le plan, à support compact, C^0 -proches de l'identité et qui ne satisfont pas le théorème.

Pour cela, on considère une application $\phi_n : [0, \infty) \rightarrow [0, \infty)$ décroissante, de classe C^∞ et telle que

$$\phi_n(x) = \begin{cases} 2\pi/n & \text{quand } x \in [0, 1] \\ 0 & \text{quand } x \in [2, \infty) \end{cases}$$

où $n \geq 2$ est un entier. Soit f_n le difféomorphisme de \mathbb{R}^2 dont la restriction au cercle $S_r : x^2 + y^2 = r^2$ est la rotation d'angle $\phi_n(r)$ pour tout $r > 0$. Chaque point dans le disque $D_1 : x^2 + y^2 \leq 1$ est un point périodique de période n pour f_n sauf l'origine qui est l'unique point fixe sur D_1 . Pour chaque point $p \in D_1$, l'origine est dans l'enveloppe convexe de l'orbite de p par f_n .

On va modifier f_n par conjugaison afin de détruire cette propriété. Pour cela, on considère deux points $p, q \in \mathbb{R}^2$ qui sont à une même distance, positive et plus petite que 1, de l'origine. On suppose aussi que le point q n'appartient pas à l'orbite de p par f_n . Maintenant, on considère un difféomorphisme ψ de \mathbb{R}^2 à support dans un très petit voisinage $\mathcal{U} \subset D_1$ du segment de droite $\{tq \in \mathbb{R}^2 ; t \in [0, 1]\}$ et tel que $\psi(0) = q$. Ainsi, le point q est l'unique point fixe de $\psi \circ f \circ \psi^{-1}$ sur D_1 et, si on a choisi \mathcal{U} suffisamment petit, alors l'orbite de p par f et par $\psi \circ f \circ \psi^{-1}$ coïncident. D'autre part, q n'est pas dans l'enveloppe convexe de l'orbite de p par $\psi \circ f \circ \psi^{-1}$. Bien sûr, cette construction peut être réalisée aussi proche qu'on veut de l'identité, dans la C^0 -topologie. Il suffit de prendre n grand et p, q proches de l'origine.

2. NOTATIONS

Soient $a_1, \dots, a_n \in \mathbb{R}^2$ des points non nécessairement distincts et tels que $a_i \neq a_{i+1}$ pour tout $i \in \mathbb{Z}/n\mathbb{Z}$. On note $\Gamma(a_1, \dots, a_n)$ la courbe fermée et orientée obtenue en mettant bout à bout les segments

$$[a_1, a_2], [a_2, a_3], \dots, [a_{n-1}, a_n], [a_n, a_1]$$

où $[a_i, a_{i+1}]$ est le segment de droite orienté joignant a_i à a_{i+1} . Ces segments seront appelés *segments qui composent la courbe* $\Gamma(a_1, \dots, a_n)$ et chaque a_i sera appelé *sommet* de la courbe. On dira aussi que $[a_{i+1}, a_{i+2}]$ est le *successeur* de $[a_i, a_{i+1}]$ dans la courbe, pour tout $i \in \mathbb{Z}/n\mathbb{Z}$.

On va supposer aussi que si deux segments orientés qui composent la courbe $\Gamma(a_1, \dots, a_n)$ s'intersectent, alors ils le font selon un angle inférieur à $\pi/2$. En particulier, s'ils s'intersectent selon un segment de droite, alors les orientations coïncident dans l'intersection. Suivant ces conventions, si

$$a_1 = (-1, 0) = a_4 \quad ; \quad a_2 = (1, 0) = a_5 \quad ; \quad a_3 = (0, 2) = a_6$$

donc la courbe $\Gamma(a_1, a_2, a_3, a_4, a_5, a_6)$ est la courbe $\Gamma(a_1, a_2, a_3)$ décrite deux fois dans le sens anti-horaire. On rappelle que $\Gamma(a_1, a_2, a_3, a_4, a_5, a_6)$ possède des auto-intersections qui persistent par de petites perturbations de la courbe.

Étant donné un difféomorphisme $f \in \text{Diff}^1(\mathbb{R}^2)$ et un point $p \in \mathbb{R}^2 - \text{Fix}(f)$, on note Γ_p^f la courbe orientée obtenue en mettant bout à bout les segments de la famille $\{[f^n(p), f^{n+1}(p)]\}_{n \in \mathbb{Z}}$ et on note $\Gamma_{p,m}^f$ la courbe fermée, orientée obtenue en mettant bout à bout les segments

$$[f(p), f^2(p)], \dots, [f^{m-1}(p), f^m(p)], [f^m(p), f(p)]$$

où $m \geq 2$.

Si γ est une courbe paramétrée, fermée et continue dans \mathbb{R}^2 et $q \in \mathbb{R}^2$ est un point hors de la courbe, on notera $\text{Ind}_q(\gamma)$ l'indice de q par rapport à γ . La propriété $\text{Ind}_q(\gamma) \neq 0$ caractérise le fait que le point q appartient à l'enveloppe convexe de l'ensemble des points décrits par γ .

Nous allons aussi adopter les notations et nomenclatures suivantes :

- $\mathcal{O}_p(f) := \{f^j(p) \in \mathbb{R}^2 ; j \in \mathbb{Z}\}$;
est l'orbite de p par f ou, simplement, la f -orbite de p ;
- $\mathcal{O}_p(G) := \{g(p) \in \mathbb{R}^2 ; g \in G\}$;
est l'orbite de p par G ou, la G -orbite de p quand $G \subset \text{Diff}^1(\mathbb{R}^2)$ est un sous-groupe. Dans ce cas on utilisera aussi la notation $\mathcal{O}_p(g_1, \dots, g_m)$ pour indiquer la (g_1, \dots, g_m) -orbite de p quand $\{g_1, \dots, g_m\}$ est un ensemble de générateurs de G ;
- si $A \subset \mathbb{R}^2$, on note $\text{Conv}(A)$ (resp. \overline{A}) l'enveloppe convexe (resp. l'adhérence) de A ;
- on note $\text{Fix}(f)$, $\text{Fix}(f_1, \dots, f_k)$ et $\text{Fix}(\mathcal{F}, \mathcal{G})$ les ensembles des points fixes communs de f , de f_1, \dots, f_k et de $\mathcal{F} \cup \mathcal{G}$, respectivement, où $\mathcal{F}, \mathcal{G} \subset \text{Diff}^1(\mathbb{R}^2)$.

Dans \mathbb{R}^2 on utilise la norme usuelle qui sera notée $\|\cdot\|$. L'ensemble $\text{Diff}^1(\mathbb{R}^2)$ est l'espace des difféomorphismes de \mathbb{R}^2 de classe C^1 munie de la C^1 -topologie de Whitney. On notera $B(q; \delta)$ la boule fermée de centre $q \in \mathbb{R}^2$ et de rayon $\delta > 0$ pour la norme $\|\cdot\|$.

3. UN LEMME TOPOLOGIQUE

Dans cette section, nous énonçons un lemme topologique qui aura un rôle important pour la preuve du théorème 1.1. La preuve du lemme sera présentée dans la dernière section de cet article.

Dans la suite, on suppose que $a_1, \dots, a_n \in \mathbb{R}^2$ sont des points non nécessairement distincts mais tels que $a_i \neq a_{i+1}$ quand $i \in \mathbb{Z}/n\mathbb{Z}$ où $n \geq 2$. On admet aussi que l'angle entre deux segments $[a_i, a_{i+1}]$ et $[a_j, a_{j+1}]$ qui s'intersectent est inférieur à $\pi/2$ pour tout $i, j \in \mathbb{Z}/n\mathbb{Z}$.

Lemme 3.1. *La courbe $\Gamma = \Gamma(a_1, \dots, a_n)$ se décompose en un nombre fini de courbes simples fermées $\gamma_1, \dots, \gamma_m$ ayant les propriétés :*

- (i) *le nombre de fois que chaque point du plan est recouvert par Γ est le même que par $\gamma_1 \cup \dots \cup \gamma_m$;*
- (ii) *$\gamma_j = \Gamma(b_{j,1}, \dots, b_{j,n_j})$ où chaque segment qui compose γ_j est contenu dans un des segments qui compose Γ , ayant la même orientation que celui-ci, pour chaque $j \in \{1, \dots, m\}$ (dans ce sens on dira que $\gamma_j \subset \Gamma$) ;*
- (iii) *si les intérieurs des disques bordés par γ_i et γ_j respectivement, s'intersectent, alors l'un d'entre eux est contenu dans l'autre ;*
- (iv) $\text{Ind}_q(\Gamma) = \sum_{1 \leq j \leq m} \text{Ind}_q(\gamma_j)$ pour tout $q \in \mathbb{R}^2 - \Gamma$;
- (v) *il existe $\kappa \in \{1, \dots, m\}$ tel que $\text{Ind}_q(\Gamma)$ est bien défini et non nul pour tout point q dans l'intérieur du disque bordé par γ_κ .*

Comme corollaire immédiat nous avons le résultat suivant.

Corollaire 3.2. *Étant donné $\Gamma = \Gamma(a_1, \dots, a_n)$, il existe une courbe simple fermée $\gamma \subset \Gamma$ telle que $\text{Ind}_q(\Gamma)$ est bien défini et non nul pour tout point q dans l'intérieur du disque bordé par γ .*

Afin de préparer la preuve du lemme topologique nous présentons ici un méthode de modification d'une courbe $\Gamma(a_1, \dots, a_n)$.

Nous allons décomposer la courbe $\Gamma = \Gamma(a_1, \dots, a_n)$ en découpant de façon convenable les segments qui composent la courbe, en des segments plus petits. Nous autorisons aussi à modifier l'ordre selon laquelle ces segments sont décrits. Par contre, au cours des modifications, le support de la courbe, la multiplicité de ses points et l'orientation des segments qui composent la courbe seront préservés. Les modifications seront faites pour détruire les auto-intersections persistantes par de petites perturbations de la courbe Γ . En plus, dans chaque pas du processus de modification de la courbe, nous serons toujours à produire des courbes du type $\Gamma(b_1, \dots, b_s)$ contenues dans Γ .

Regardons le cas particulier où Γ possède seulement un nombre fini de points multiples. Dans ce cas, en augmentant de façon convenable le nombre de sommets de la courbe, on peut admettre sans perte de généralité que si deux segments qui composent la courbe s'intersectent, alors ils le font selon une extrémité commune. Dans ce cas, chaque point de la courbe Γ est recouvert une seule fois, sauf les sommets qui peuvent l'être plusieurs fois.

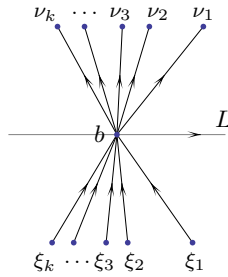
Prenons alors un point b de la courbe Γ où on a des intersections. Ces intersections peuvent être persistantes ou pas par de petites perturbations. Rappelons que par hypothèse, si deux segments qui composent la courbe s'intersectent, alors l'angle entre eux est plus petit que $\pi/2$. Ainsi, on peut fixer une ligne L passant par b convenablement orientée, de telle façon que tous les segments qui composent la courbe et qui pointent vers b

$$[\xi_1, b], \dots, [\xi_k, b]$$

sont du côté droit de L et les segments qui sortent de b

$$[b, \nu_1], \dots, [b, \nu_k]$$

sont à gauche de L comme montré dans la figure à suivre. Évidemment, ces deux classes de segments ont le même nombre d'éléments et chaque segment $[\xi_i, b]$ a comme successeur, dans la courbe Γ , un segment $[b, \nu_j]$. Maintenant, il est facile de détruire, simultanément, tous les intersections persistantes, qui arrivent au point b : il suffit de modifier la courbe en mettant $[b, \nu_i]$ comme successeur de $[\xi_i, b]$. Bien sûr, on suppose que ν_j est à droite de ν_{j+1} et que ξ_i est à droite de ξ_{i+1} . Après cette modification, tous les intersections au point b peuvent être détruites par de petites perturbations de la courbe.



La condition (iii) sera essentielle pour démontrer (v) comme les figures à suivre le montrent. Dans la figure à gauche, on a la courbe $\Gamma(a_1, \dots, a_{10})$. Après faire une première modification, on obtient les courbes $\Gamma(a_6, b_1, a_{10}, a_1, \dots, a_5)$ et $\Gamma(a_9, b_1, a_7, a_8)$ qui sont montrées dans la figure au milieu. Les deux courbes obtenues sont des courbes simples fermées, mais elles ne satisfont pas la condition (iii). En fait, dans l'intérieur des disques bordés par ces courbes, chaque point a un indice nul par rapport à la courbe $\Gamma(a_1, \dots, a_{10})$.

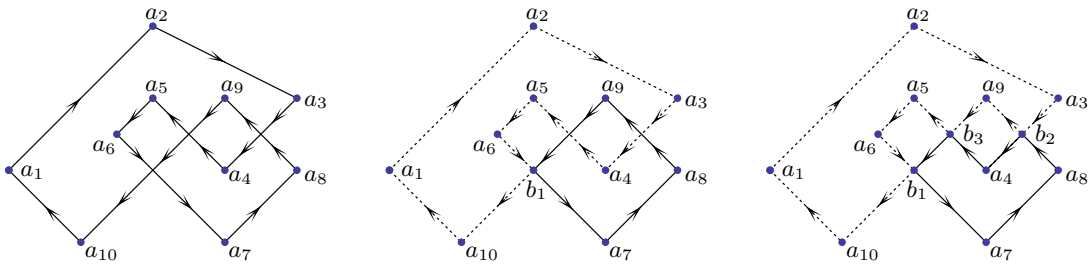
Mais, il reste encore deux intersections persistantes par de petites perturbations :

$$[a_3, a_4] \cap [a_8, a_9] \quad \text{et} \quad [a_4, a_5] \cap [a_9, b_1].$$

En modifiant les courbes dans ces intersections pour éliminer les intersections persistantes, on obtient les courbes suivantes :

$$\Gamma(a_6, b_1, a_{10}, a_1, a_2, a_3, b_2, a_9, b_3, a_5) \quad \text{et} \quad \Gamma(b_1, a_7, a_8, b_2, a_4, b_3)$$

qui sont montrées dans la figure à droite. Ces courbes satisfont les conditions du lemme. Les points dans les intérieurs des disques bordés par ces deux courbes ont des indices non nuls par rapport à la courbe initiale $\Gamma(a_1, \dots, a_{10})$.



La décomposition, dans le cas de la courbe $\Gamma(a_1, a_2, a_3, a_4, a_5, a_6)$ définie dans la section 2 et où

$$a_1 = (-1, 0) = a_4 \quad ; \quad a_2 = (1, 0) = a_5 \quad \text{e} \quad a_3 = (0, 2) = a_6,$$

est donnée par les courbes

$$\beta_1 = \Gamma(a_1, a_2, a_3) \quad \text{et} \quad \beta_2 = \Gamma(a_4, a_5, a_6).$$

4. PROPRIÉTÉS DES DIFFÉOMORPHISMES C^1 -PROCHES DE L'IDENTITÉ

Dans cette section, nous énonçons quelques-uns des résultats de Bonatti (voir [1]), ici énoncés pour les difféomorphismes de \mathbb{R}^2 qui sont C^1 -proches de l'identité dans la C^1 -topologie de Whitney.

Dans la suite, $\mathfrak{C}_s^1(\mathbb{R}^2)$ est l'espace des applications $f : \mathbb{R}^2 \rightarrow \mathbb{R}^2$ de classe C^1 muni de la C^1 -topologie de Whitney. Pour chaque $\epsilon > 0$, on notera $\mathcal{U}_\epsilon \subset \mathfrak{C}_s^1(\mathbb{R}^2)$ le voisinage de l'identité donné par

$$\mathcal{U}_\epsilon := \left\{ f \in \mathfrak{C}_s^1(\mathbb{R}^2) ; \max \{ \|f(x) - x\|, \|Df(x) - Id\| \} < \epsilon, \forall x \in \mathbb{R}^2 \right\}$$

où $\|Df(x) - Id\| = \sup \{ \|Df(x) \cdot v - v\| ; \|v\| = 1 \}$.

Si $\epsilon > 0$ est choisi suffisamment petit, \mathcal{U}_ϵ s'inclut dans $\text{Diff}^1(\mathbb{R}^2)$. Dans la suite, on supposera toujours cette condition vérifiée.

Dans l'article cité ci-dessus, Bonatti montre qu'il existe $\epsilon_1 > 0$ avec les propriétés suivantes :

(B.1) *Si $f \in \mathcal{U}_{\epsilon_1}$ et $p \in \mathbb{R}^2 - \text{Fix}(f)$, alors f est sans point fixe sur la boule fermée de centre p et de rayon $4\|f(p) - p\|$;*

(B.2) *Si $f \in \mathcal{U}_{\epsilon_1}$ et $p \in \mathbb{R}^2 - \text{Fix}(f)$ alors l'angle entre deux segments orientés*

$$[f^i(p), f^{i+1}(p)] \quad \text{et} \quad [f^j(p), f^{j+1}(p)]$$

qui s'intersectent est plus petit que $\pi/4$ pour tout $i, j \in \mathbb{Z}$;

(B.3) *Soient $g_1, \dots, g_m, f \in \mathcal{U}_{\epsilon_1}$ des difféomorphismes commutants et soit $p \in \mathbb{R}^2$ un point fixe commun pour g_1, \dots, g_m tel que $f(p) \neq p$. Supposons qu'il existe une courbe simple fermée γ contenue dans Γ_p^f . Alors, il existe un point fixe commun à g_1, \dots, g_m, f dans l'intérieur du disque bordé par γ .*

Les résultats énoncés dans (B.1), (B.2) et (B.3) correspondent, respectivement, aux corollaire 2.2, lemme 2.3 et lemme 5.1, démontrés dans [1].

On rappelle que la courbe γ (dans l'assertion B.3) existe toujours si p est un point ω -récurrent pour f , c'est-à-dire, dans ce cas, la courbe Γ_p^f possède au moins un point multiple. Cela a déjà été remarqué par Bonatti.

Le prochain lemme n'est pas explicitement démontré dans [1], mais sa preuve est une répétition exacte des raisonnements qui amènent à la preuve du lemme 5.1 dans [1].

Lemme 4.1. *Soient $g_1, \dots, g_m, f \in \mathcal{U}_{\epsilon_1}$ des difféomorphismes commutants et soit $p \in \mathbb{R}^2$ un point fixe commun à g_1, \dots, g_m tel que $f(p) \neq p$. Supposons qu'il existe une suite croissante $(n_k)_{k \geq 1}$ dans \mathbb{Z}^+ telle que $f^{n_k}(p) \rightarrow p$ et soit γ une courbe simple fermée contenue dans Γ_{p, n_k}^f .*

Alors, si k est suffisamment grand, il existe un point fixe commun à g_1, \dots, g_m, f dans l'intérieur du disque bordé par γ .

Commentaire sur la preuve. La preuve du lemme 4.1 est une adaptation simple de la preuve du lemme 5.1 de [1]. La différence est que dans notre lemme, la courbe simple fermée γ peut avoir des segments de droite contenus dans le segment $[f^{n_k}(p), f(p)]$. Mais ça n'impose pas de restrictions car, comme l'a démontré Bonatti dans [1], les propriétés de f sur les segments $[f^{n_k}(p), f(p)]$, utilisées dans la preuve, sont similaires aux propriétés de f sur le segment $[p, f(p)]$ quand k est suffisamment grand. En fait, dans [2], Bonatti utilise déjà les courbes Γ_{p, n_k}^f pour démontrer l'existence des points fixes communs pour des difféomorphismes commutants des surfaces compactes à caractéristique d'Euler non nulle. \square

En combinant les lemmes 3.1 et 4.1 on obtient le résultat suivant.

Lemme 4.2. *Soient $g_1, \dots, g_m, f \in \mathcal{U}_{\epsilon_1}$ des difféomorphismes commutants et soit $p \in \mathbb{R}^2$ un point fixe commun à g_1, \dots, g_m tel que $f(p) \neq p$. Supposons qu'il existe une suite croissante $(n_k)_{k \geq 1}$ dans \mathbb{Z}^+ tel que $f^{n_k}(p) \rightarrow p$. Alors, si k est suffisamment grand, il existe un point $q_k \in \text{Fix}(g_1, \dots, g_m; f)$ tel que $\text{Ind}_{q_k}(\Gamma_{p, n_k}^f) \neq 0$.*

Preuve. Soient $p \in \text{Fix}(g_1, \dots, g_m) - \text{Fix}(f)$ et $(n_k)_{k \geq 1}$ vérifiant les conditions du lemme. Pour chaque $k \geq 1$ considérons la courbe Γ_{p, n_k}^f .

Rappelons que le segment $[f^{n_k}(p), f(p)]$ s'approche de $[p, f(p)]$ si on prend k grand. Ainsi d'après (B.2), l'angle entre deux segments qui composent la courbe Γ_{p, n_k}^f et qui s'intersectent est inférieur à $\pi/3$ si k est suffisamment grand. Alors, le corollaire 3.2 nous garantit qu'il existe une courbe simple fermée γ contenue dans Γ_{p, n_k}^f . En plus, l'indice $\text{Ind}_q(\Gamma_{p, n_k}^f)$ est bien défini et non nul pour tous les points dans l'intérieur du disque D bordé par γ . D'autre part, le lemme 4.1 nous garantit qu'il existe un point fixe commun $q_k \in \text{Fix}(g_1, \dots, g_m; f)$ dans l'intérieur de D et la preuve est terminée. \square

Le voisinage \mathcal{V} du théorème 1.1 ne sera pas le voisinage \mathcal{U}_{ϵ_1} utilisé dans les résultats de [1]. Il sera modifié par le voisinage décrit dans le prochain lemme.

Lemme 4.3. *Étant donné $\delta > 0$ et $K > 1$, il existe $\epsilon_2 = \epsilon_2(\delta, K) > 0$ avec la propriété suivante :*

$$\|f(\lambda) - f(p)\| \leq K\|f(q) - f(p)\|$$

pour tout $f \in \mathcal{U}_{\epsilon_2}$, $\|p - q\| \leq \delta$ et $\lambda \in [p, q]$.

Le lemme 4.3 est une conséquence immédiate du lemme 4.4. Dans la suite, pour $f : B(0, r) \subset \mathbb{R}^2 \rightarrow \mathbb{R}^2$ de classe C^1 , la propriété $\|f - Id\|_1 < \epsilon_2$ sur $B(0, r) \subset \mathbb{R}^2$ signifie que

$$\sup \left\{ \|f(x) - x\|, \|Df(x) - Id\| ; x \in B(0, r) \right\} < \epsilon_2.$$

Lemme 4.4. *Étant donné $r > 0$ et $K > 1$, il existe $\epsilon_2 = \epsilon_2(r, K) > 0$ avec la propriété suivante: si $f : B(0, r) \subset \mathbb{R}^2 \rightarrow \mathbb{R}^2$ est de classe C^1 et $\|f - Id\|_1 < \epsilon_2$ sur $B(0, r)$, alors pour tous $p, q \in B(0, r)$ et pour tout $\lambda \in [p, q]$ on a*

$$\|f(\lambda) - f(p)\| \leq K \|f(q) - f(p)\|.$$

Preuve. On fera une preuve par contradiction. Supposons que le lemme n'est pas vrai. Dans ce cas, pour chaque $n \in \mathbb{Z}^+$, il existe :

- $f_n : B(0, r) \rightarrow \mathbb{R}^2$ de classe C^1 tel que $\|f_n - Id\|_1 < 1/n$ sur $B(0, r)$;
- $p_n, q_n \in B(0, r)$ distincts et $\lambda_n \in [p_n, q_n]$ avec $\lambda_n \neq p_n, q_n$;

tels que

$$\|f_n(\lambda_n) - f_n(p_n)\| > K \|f_n(q_n) - f_n(p_n)\|$$

et par conséquent,

$$\frac{1}{\|\lambda_n - p_n\|} \|f_n(\lambda_n) - f_n(p_n)\| > \frac{K}{\|q_n - p_n\|} \|f_n(q_n) - f_n(p_n)\| \quad (4.4.1)$$

pour tout $n \in \mathbb{Z}^+$. De plus, quitte à considérer une sous-suite, on peut supposer que $(p_n)_{n \geq 1}$, $(q_n)_{n \geq 1}$ et $(\lambda_n)_{n \geq 1}$ convergent respectivement vers p, q et λ et que

$$\left(\frac{\lambda_n - p_n}{\|\lambda_n - p_n\|} \right)_{n \geq 1} \quad \text{et} \quad \left(\frac{q_n - p_n}{\|q_n - p_n\|} \right)_{n \geq 1}$$

convergent, simultanément, vers un même vecteur unitaire $v \in \mathbb{R}^2$.

Si $\|q - p\|$ et $\|\lambda - p\|$ sont strictement positifs alors, en revenant à l'inégalité (4.4.1) et en passant à la limite pour $n \rightarrow \infty$ on déduit que l'on a

$$1 = \|v\| \geq K \|v\| = K, \quad (4.4.2)$$

ce qui nous donne la contradiction cherchée pour ce cas.

Supposons que $\|\lambda_n - p_n\| \rightarrow 0$ et $\|q - p\| > 0$. Par le *théorème des accroissements finis* appliqué aux coordonnées $f_{n,1}, f_{n,2}$ de f_n , on conclut qu'il existe des points $\xi_{n,1}, \xi_{n,2}$ dans le segment $[p_n, \lambda_n]$ tels que

$$\begin{aligned} \frac{1}{\|\lambda_n - p_n\|} \left\{ f_n(\lambda_n) - f_n(p_n) \right\} &= \\ &= \left(Df_{n,1}(\xi_{n,1}) \cdot \frac{\lambda_n - p_n}{\|\lambda_n - p_n\|}, Df_{n,2}(\xi_{n,2}) \cdot \frac{\lambda_n - p_n}{\|\lambda_n - p_n\|} \right). \end{aligned} \quad (4.4.3)$$

Comme $\|\lambda_n - p_n\| \rightarrow 0$ et $p_n \rightarrow p$, il s'en suit que $\xi_{n,i} \rightarrow p$ pour tout $i \in \{1, 2\}$. En passant à la limite dans le terme de droite de l'égalité (4.4.3) on obtient le vecteur unitaire v . Par conséquent, en revenant à l'inégalité (4.4.1) on obtient la même inégalité (4.4.2) ce qui produit à nouveau, une contradiction. Le cas où $\|q_n - p_n\| \rightarrow 0$ est similaire au cas $\|\lambda_n - p_n\| \rightarrow 0$. \square

5. PRÉPARATION POUR LA PREUVE DU THÉORÈME

Dans la suite de ce travail, le voisinage \mathcal{V} de l'identité dans $\text{Diff}^1(\mathbb{R}^2)$ sera donné par

$$\mathcal{V} = \mathcal{U}_\epsilon \quad \text{où} \quad 0 < \epsilon < \min\{\epsilon_1, \epsilon_2\}$$

et $\epsilon_2 = \epsilon_2(\delta, K)$ est choisi en prenant $\delta = 2\epsilon_1$ et $K = 3$. Les voisinages \mathcal{U}_{ϵ_1} et \mathcal{U}_{ϵ_2} ont été introduits dans la section 4.

Remarque 5.1. Soient $f, h \in \mathcal{V}$ deux difféomorphismes commutants et soit $x \in \mathbb{R}^2$ tel que $f(x) \neq x$. D'après le lemme 4.3 et le choix du voisinage \mathcal{V} on a

$$\|h(\lambda) - h(f^i(x))\| \leq 3 \|h(f^{i+1}(x)) - h(f^i(x))\|$$

pour tout $\lambda \in [f^i(x), f^{i+1}(x)]$ et $i \in \mathbb{Z}$. Pourtant, comme f et h commutent il s'en suit que $h(\lambda)$ est contenu dans la boule fermée de centre $f^i(h(x))$ et de rayon $3 \|f^{i+1}(h(x)) - f^i(h(x))\|$.

D'autre part, on sait d'après (B.1) que f est sans point fixe sur la boule fermée de centre $f^i(h(x))$ et de rayon $4 \|f^{i+1}(h(x)) - f^i(h(x))\|$. Donc, on peut faire une homothopie entre les courbes

$$[f^i(h(x)), f^{i+1}(h(x))] \quad \text{et} \quad h([f^i(x), f^{i+1}(x)])$$

sans passer par les points fixes de f et sans bouger les extrémités $f^i(h(x))$ et $f^{i+1}(h(x))$.

De plus, si $(n_k)_{k \geq 1}$ est une suite croissante dans \mathbb{Z}^+ telle que $f^{n_k}(x) \rightarrow x$ lorsque k tend vers l'infini et, si on considère k suffisamment grand, alors on peut appliquer aux segments $[f^{n_k}(x), f(x)]$ le lemme 4.3 ce qui montre que $h([f^{n_k}(x), f(x)])$ et $[f^{n_k}(h(x)), f(h(x))]$ sont tous les deux dans la boule ouverte de centre $h(x)$ et de rayon $4 \|h(x) - f(h(x))\|$ sur laquelle f n'a pas de point fixe. Ainsi, on peut, comme précédemment, faire une homothopie entre les courbes $[f^{n_k}(h(x)), f(h(x))]$ et $h([f^{n_k}(x), f(x)])$ sans passer par les points fixes de f et sans bouger les extrémités $f^{n_k}(h(x))$ et $f(h(x))$.

Nous allons faire l'usage de cette remarque dans la preuve du lemme 5.3.

Définition 5.2. Soit $f \in \text{Diff}^1(\mathbb{R}^2)$ et soit $p \in \mathbb{R}^2$ tels que $f(p) \neq p$. On dit qu'un point $q \in \text{Fix}(f)$ est un *point capital* pour $\mathcal{O}_p(f)$ s'il existe une suite croissante $(n_k)_{k \geq 1}$ dans \mathbb{Z}^+ telle que :

- $f^{n_k}(p) \rightarrow p$ lorsque k tend vers l'infini ;
- $\text{Ind}_q(\Gamma_{p, n_k}^f)$ est bien défini et non nul pour k suffisamment grand.

Bien sûr, si $q \in \mathbb{R}^2$ est un point capital pour $\mathcal{O}_p(f)$ alors q appartient à l'enveloppe convexe de $\mathcal{O}_p(f)$.

Lemme 5.3. Soient $f, h \in \mathcal{V}$ deux difféomorphismes commutants et soit $q \in \text{Fix}(f)$ un point capital pour $\mathcal{O}_p(f)$ où $p \in \mathbb{R}^2 - \text{Fix}(f)$. Alors $h^\ell(q)$ est un point capital pour $\mathcal{O}_{h^\ell(p)}(h)$ quel que soit $\ell \in \mathbb{Z}$ et on a $\mathcal{O}_q(h) \subset \text{Conv}(\mathcal{O}_p(f, h))$.

Preuve. Comme le point q est un point capital pour $\mathcal{O}_p(f)$, il existe une suite croissante $(n_k)_{k \geq 1}$ dans \mathbb{Z}^+ avec les propriétés suivantes :

- $f^{n_k}(p) \rightarrow p$;

– $\text{Ind}_q(\Gamma_{p,n_k}^f)$ est bien défini et non nul pour k suffisamment grand.

On va montrer que les points $h(p)$, $h(q)$ et les courbes fermées orientées $\Gamma_{h(p),n_k}^f$ ont les même propriétés qu'énoncés précédemment pour p, q et Γ_{p,n_k}^f .

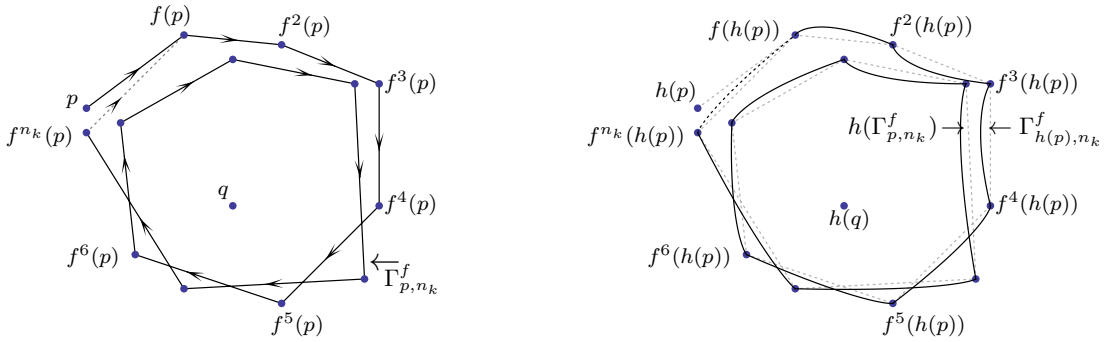
Comme f et g commutent on a $h(q) \in \text{Fix}(f)$ et on aura encore :

$$h(\mathcal{O}_p(f)) = \mathcal{O}_{h(p)}(f) \quad \text{et} \quad f^{n_k}(h(p)) = h(f^{n_k}(p)) \rightarrow h(p).$$

En outre, l'indice de $h(q)$ par rapport à la courbe $h(\Gamma_{p,n_k}^f)$ est bien défini et est non nul. D'autre part, il suit de la Remarque 5.1 qu'on peut faire une homotopie entre $h(\Gamma_{p,n_k}^f)$ et $\Gamma_{h(p),n_k}^f$, qui fixe les sommets de $\Gamma_{h(p),n_k}^f$ et ne passe pas par les points fixes de f . On en déduit alors que $\text{Ind}_{h(q)}(\Gamma_{h(p),n_k}^f)$ est bien défini et

$$\text{Ind}_{h(q)}(\Gamma_{h(p),n_k}^f) = \text{Ind}_{h(q)}(h(\Gamma_{p,n_k}^f)) \neq 0$$

pourvu que k soit suffisamment grand. Ainsi, on vient de montrer que $h(q)$ est un point capital pour $\mathcal{O}_{h(p)}(f)$. Donc $h(q)$ appartient à l'enveloppe convexe de $\mathcal{O}_{h(p)}(f)$ et, par conséquent, on aura $h(q) \in \text{Conv}(\mathcal{O}_p(f, h))$.



En répétant ce processus successivement on conclut que :

- pour chaque $\ell \in \mathbb{Z}^+$, l'indice $\text{Ind}_{h^\ell(q)}(\Gamma_{h^\ell(p),n_k}^f)$ est bien défini et non nul lorsque k est suffisamment grand ;
- $h^\ell(q) \in \text{Conv}(\mathcal{O}_p(f, h))$ pour tout entier $\ell \geq 0$.

La preuve pour le cas $\ell < 0$ est similaire, il suffit de diminuer le voisinage \mathcal{V} pour qu'on puisse appliquer les raisonnements à h^{-1} . Ceci clôt la preuve du lemme. \square

Lemme 5.4. Soient $g_1, \dots, g_m, f \in \mathcal{V}$ des difféomorphismes commutants et soit $p \in \text{Fix}(g_1, \dots, g_m)$ un point dont la f -orbite est bornée. Alors, il existe un point $q \in \text{Fix}(g_1, \dots, g_m; f)$ satisfaisant une des conditions :

- (i) $q \in \overline{\mathcal{O}_p(f)}$;
- (ii) $q \in \text{Conv}(\mathcal{O}_p(f))$ et dans ce cas q est un point capital pour $\mathcal{O}_{\tilde{p}}(f)$ où $\tilde{p} \in \overline{\mathcal{O}_p(f)} - \text{Fix}(f)$.

Preuve. Admettons qu'il n'y ait pas de points fixes de f dans $\overline{\mathcal{O}_p(f)}$. Ainsi, $\overline{\mathcal{O}_p(f)} \subset \text{Fix}(g_1, \dots, g_m)$ contient un compact minimal Λ sans point fixe pour f . Dans ce cas, étant

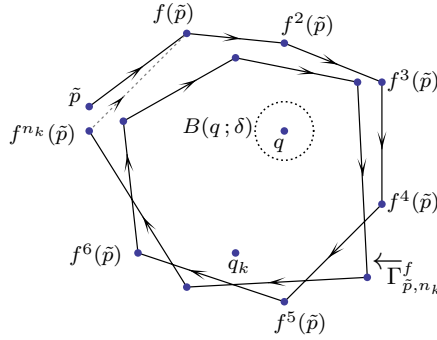
donné $\tilde{p} \in \Lambda \subset \overline{\mathcal{O}_p(f)}$, on a $\overline{\{f^i(p) ; i \geq 0\}} = \Lambda$. Donc, il existe une suite croissante $(n_k)_{k \geq 1}$ dans \mathbb{Z}^+ telle que $f^{n_k}(\tilde{p}) \rightarrow \tilde{p}$.

Maintenant, passons aux courbes fermées et orientées $\Gamma_{\tilde{p}, n_k}^f$. D'après le lemme 4.2, il existe $q_k \in \text{Fix}(g_1, \dots, g_m; f)$ tel que $\text{Ind}_{q_k}(\Gamma_{\tilde{p}, n_k}^f)$ est bien défini et non nul pourvu que k soit suffisamment grand. Et dans ces conditions q_k appartient à $\text{Conv}(\mathcal{O}_{\tilde{p}}(f))$.

Comme la f -orbite de p est bornée et $\tilde{p} \in \overline{\mathcal{O}_p(f)}$, on en déduit que la f -orbite de \tilde{p} est bornée et donc, $\text{Conv}(\mathcal{O}_{\tilde{p}}(f))$ est aussi borné. Dans ce cas, quitte à extraire une sous suite de $(q_k)_{k \geq 1}$, on peut admettre sans perte de généralité, que $q_k \rightarrow q$ avec q dans $\text{Fix}(g_1, \dots, g_m; f)$.

Comme $\mathcal{O}_p(f) \cap \text{Fix}(f) = \emptyset$, il existe une boule $B(q; \delta)$ telle que $B(q; \delta) \cap \overline{\mathcal{O}_p(f)} = \emptyset$.

Supposons qu'on puisse trouver des segments $[p', f(p')]$ arbitrairement proches de q avec $p' \in \overline{\mathcal{O}_p(f)}$. Dans ce cas, la compacité de $\overline{\mathcal{O}_p(f)}$ montre qu'il existe $q' \in \overline{\mathcal{O}_p(f)} - \text{Fix}(f)$ tel que $q \in [q', f(q')]$; ceci donne une contradiction car, par (B.1), il n'existe pas de points fixes de f dans le segment $[q', f(q')]$. De plus, en prenant k suffisamment grand, on déduit que les segments $[f^{n_k}(\tilde{p}), f(\tilde{p})]$ ne peuvent pas passer arbitrairement proches de q car $f^{n_k}(\tilde{p}) \rightarrow \tilde{p}$ et $[\tilde{p}, f(\tilde{p})]$ ne contient pas le point q .



Alors, quitte à passer à une valeur plus petite de δ , on peut supposer que la boule $B(q; \delta)$ isole le point q de toutes les courbes $\Gamma_{\tilde{p}, n_k}^f$ si k est assez grand. Et dans cette condition, l'indice de q par rapport à la courbe $\Gamma_{\tilde{p}, n_k}^f$ est bien défini et on obtient :

- $q \in \text{Fix}(g_1, \dots, g_m; f)$;
- $\text{Ind}_q(\Gamma_{\tilde{p}, n_k}^f) = \text{Ind}_{q_k}(\Gamma_{\tilde{p}, n_k}^f) \neq 0$,

ce qui démontre l'existence d'un point capital $q \in \text{Fix}(g_1, \dots, g_m; f)$ associé à $\mathcal{O}_{\tilde{p}}(f)$ où $\tilde{p} \in \overline{\mathcal{O}_p(f)}$.

Pour conclure la preuve, il suffit de se rappeler que, en prenant n_k grand et $\tilde{p}' \in \mathcal{O}_p(f)$ proche de \tilde{p} , l'indice $\text{Ind}_q(\Gamma_{\tilde{p}', n_k}^f)$ est bien défini et il coïncide avec $\text{Ind}_q(\Gamma_{\tilde{p}, n_k}^f)$. Alors, $q \in \text{Conv}(\mathcal{O}_p(f))$ et le lemme est conclut. \square

6. PREUVE DU THÉORÈME 1.1

Pour démontrer le théorème 1.1, on commence par le cas où il y a un nombre fini de générateurs.

Théorème 6.1. *Soient $g_1, \dots, g_m, f_1, \dots, f_n \in \mathcal{V}$ des difféomorphismes commutants et supposons qu'il existe un point $p \in \text{Fix}(g_1, \dots, g_m)$ dont la (f_1, \dots, f_n) -orbite est bornée. Alors, il existe un point fixe q commun à $g_1, \dots, g_m, f_1, \dots, f_n$ satisfaisant une des conditions :*

$$(i) \quad q \in \overline{\mathcal{O}_p(f_1, \dots, f_n)};$$

$$(ii) \quad q \in \text{Conv}\left(\mathcal{O}_p(f_1, \dots, f_n)\right) \text{ et dans ce cas } q \text{ est un point capital pour } \mathcal{O}_{\tilde{p}}(f_j) \text{ où } j \in \{1, \dots, n\} \text{ et } \mathcal{O}_{\tilde{p}}(f_j) \subset \text{Conv}\left(\overline{\mathcal{O}_p(f_1, \dots, f_n)}\right).$$

Preuve. On fera une preuve par récurrence sur n . Le lemme 5.4 donne le résultat dans le cas $n = 1$ et $m \in \mathbb{Z}^+$. Admettons alors que le résultat est vrai pour $n \geq 1$ quelconque et démontrons le dans le cas $n + 1$.

Pour cela, soient $g_1, \dots, g_m, f_1, \dots, f_n, f_{n+1} \in \mathcal{V}$ des difféomorphismes commutants et soit $p \in \text{Fix}(g_1, \dots, g_m)$ dont la $(f_1, \dots, f_n, f_{n+1})$ -orbite est bornée.

Le lemme 5.4 appliqué au point p et aux difféomorphismes g_1, \dots, g_m, f_1 donne un point fixe p' commun aux difféomorphismes g_1, \dots, g_m, f_1 et satisfaisant l'une des conditions :

$$\text{Cas I: } p' \in \overline{\mathcal{O}_p(f_1)};$$

$$\text{Cas II: } p' \in \text{Conv}(\mathcal{O}_p(f_1)) \text{ et dans ce cas } p' \text{ est point capital pour } \mathcal{O}_{\tilde{p}}(f_1) \text{ où } \tilde{p} \in \overline{\mathcal{O}_p(f_1)}.$$

Étudions le *Cas I*. Par hypothèse, la $(f_2, \dots, f_n, f_{n+1})$ -orbite de p' est contenue dans $\overline{\mathcal{O}_p(f_1, \dots, f_n, f_{n+1})}$ et donc, est bornée. L'hypothèse d'induction appliquée au point $p' \in \text{Fix}(g_1, \dots, g_m; f_1)$ et aux difféomorphismes

$$g_1, \dots, g_m, f_1 \text{ e } f_2, \dots, f_n, f_{n+1}$$

nous garantit qu'il existe un point fixe

$$q \in \text{Fix}(g_1, \dots, g_m, f_1; f_2, \dots, f_n, f_{n+1})$$

satisfaisant l'une des conditions :

$$\text{Cas I-A: } q \in \overline{\mathcal{O}_{p'}(f_2, \dots, f_n, f_{n+1})};$$

$$\text{Cas I-B: } q \in \text{Conv}\left(\mathcal{O}_{p'}(f_2, \dots, f_n, f_{n+1})\right) \text{ et dans ce cas } q \text{ est un point capital pour } \mathcal{O}_{\tilde{p}'}(f_j) \text{ où } j \in \{2, \dots, n, n+1\} \text{ et}$$

$$\mathcal{O}_{\tilde{p}'}(f_j) \subset \text{Conv}\left(\overline{\mathcal{O}_{p'}(f_2, \dots, f_n, f_{n+1})}\right).$$

Si on se place sur le *Cas I-A*, alors $q \in \overline{\mathcal{O}_{p'}(f_1, f_2, \dots, f_n, f_{n+1})}$ car $p' \in \text{Fix}(f_1)$ et, comme $p' \in \overline{\mathcal{O}_p(f_1)}$, on doit avoir

$$q \in \overline{\mathcal{O}_p(f_1, f_2, \dots, f_n, f_{n+1})}.$$

Supposons maintenant que le *Cas I-A* n'arrive pas. Ainsi,

$$q \in \text{Fix}(g_1, \dots, g_m, f_1; f_2, \dots, f_n, f_{n+1})$$

et est contenu dans l'enveloppe convexe de $\mathcal{O}_{p'}(f_2, \dots, f_n, f_{n+1})$. Donc,

$$q \in \text{Conv}\left(\overline{\mathcal{O}_p(f_1, f_2, \dots, f_n, f_{n+1})}\right).$$

En plus, le point q est un point capital pour $\mathcal{O}_{\tilde{p}'}(f_j)$ où $j \in \{2, \dots, n, n+1\}$ et

$$\mathcal{O}_{\tilde{p}'}(f_j) \subset \text{Conv}\left(\overline{\mathcal{O}_{p'}(f_2, \dots, f_n, f_{n+1})}\right)$$

et donc,

$$\mathcal{O}_{\tilde{p}'}(f_j) \subset \text{Conv}\left(\overline{\mathcal{O}_p(f_1, f_2, \dots, f_n, f_{n+1})}\right)$$

car $p' \in \overline{\mathcal{O}_p(f_1)}$.

Il reste à prouver $q \in \text{Conv}\left(\overline{\mathcal{O}_p(f_1, f_2, \dots, f_n, f_{n+1})}\right)$. Rappelons-nous que

$$\text{Conv}\left(\overline{\mathcal{O}_p(f_1, f_2, \dots, f_n, f_{n+1})}\right) = \overline{\text{Conv}\left(\mathcal{O}_p(f_1, f_2, \dots, f_n, f_{n+1})\right)}.$$

Ainsi, on peut approcher les sommets de la courbe $\Gamma_{\tilde{p}', n_k}^{f_j}$ pour des points qui sont dans $\text{Conv}\left(\overline{\mathcal{O}_p(f_1, f_2, \dots, f_n, f_{n+1})}\right)$ et construire une courbe

$$\gamma = \Gamma(a_1, \dots, a_\ell)$$

qui ne passe pas par le point q et telle que $\text{Ind}_q(\gamma) = \text{Inf}_q(\Gamma_{\tilde{p}', n_k}^{f_j}) \neq 0$. Cela démontre que le point q est contenu dans $\text{Conv}\left(\overline{\mathcal{O}_p(f_1, f_2, \dots, f_n, f_{n+1})}\right)$ et la preuve est finie pour le *Cas I*.

Supposons maintenant que le *Cas I* n'arrive pas. Alors, le point

$$p' \in \text{Fix}(g_1, \dots, g_m; f_1)$$

est un point capital pour $\mathcal{O}_{\tilde{p}}(f_1)$ où $\tilde{p} \in \overline{\mathcal{O}_p(f_1)}$. D'autre part, le lemme 5.3 appliqué successivement aux difféomorphismes

$$f_1, h \quad \text{avec} \quad h = f_2, \dots, f_n, f_{n+1}$$

nous garantit que la $(f_2, \dots, f_n, f_{n+1})$ -orbite du point p' est contenue dans l'enveloppe convexe de $\mathcal{O}_{\tilde{p}}(f_1, \dots, f_n, f_{n+1})$ et, par conséquent, est bornée puisque

$$\mathcal{O}_{\tilde{p}}(f_1, \dots, f_n, f_{n+1}) \subset \overline{\mathcal{O}_p(f_1, \dots, f_n, f_{n+1})}$$

et $\tilde{p} \in \overline{\mathcal{O}_p(f_1)}$. On peut alors appliquer l'hypothèse d'induction au point $p' \in \text{Fix}(g_1, \dots, g_m; f_1)$ et aux difféomorphismes

$$g_1, \dots, g_m, f_1 \quad \text{et} \quad f_2, \dots, f_n, f_{n+1}$$

pour conclure qu'il existe un point fixe q commun aux difféomorphismes

$$g_1, \dots, g_m, f_1, f_2, \dots, f_n, f_{n+1}$$

satisfaisant l'une des conditions :

Cas II-A: $q \in \overline{\mathcal{O}_{p'}(f_2, \dots, f_n, f_{n+1})}$;

Cas II-B: $q \in \text{Conv}\left(\overline{\mathcal{O}_{p'}(f_2, \dots, f_n, f_{n+1})}\right)$ et dans ce cas q est un point capital pour $\mathcal{O}_{\tilde{p}'}(f_j)$ où $j \in \{2, \dots, n, n+1\}$ et

$$\mathcal{O}_{\tilde{p}'}(f_j) \in \text{Conv}\left(\overline{\mathcal{O}_{p'}(f_2, \dots, f_n, f_{n+1})}\right).$$

Supposons que le *Cas II-A* arrive. Si le point q est dans $\overline{\mathcal{O}_p(f_1, \dots, f_n, f_{n+1})}$, alors la preuve est finie. Par contre, si $q \notin \overline{\mathcal{O}_p(f_1, \dots, f_n, f_{n+1})}$ on en déduit qu'il existe une boule $B(q; \delta)$ telle que

$$B(q; \delta) \cap \overline{\mathcal{O}_p(f_1, \dots, f_n, f_{n+1})} = \emptyset.$$

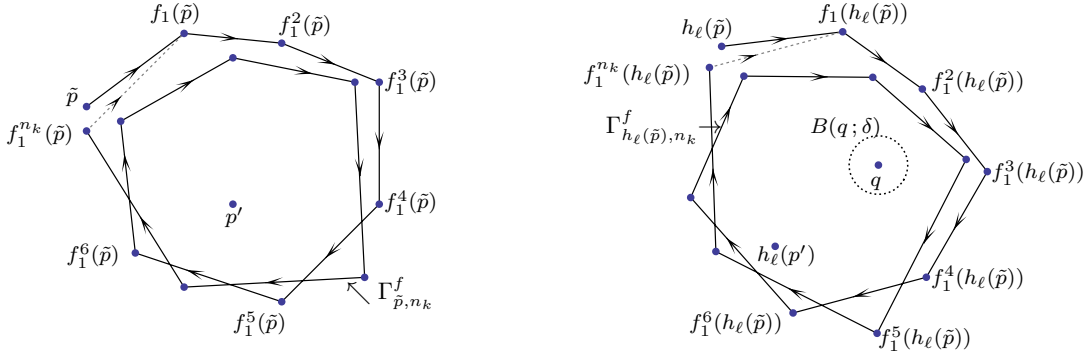
Maintenant, admettons qu'il existe des segments $[\tilde{q}, f_1(\tilde{q})]$ passant arbitrairement proches du point q avec $\tilde{q} \in \overline{\mathcal{O}_p(f_1, \dots, f_n, f_{n+1})}$. Il suit de la compacité de $\overline{\mathcal{O}_p(f_1, \dots, f_n, f_{n+1})}$ qu'il existe un point $\tilde{q}' \in \overline{\mathcal{O}_p(f_1, \dots, f_n, f_{n+1})}$ tel que $q \in [\tilde{q}', f_1(\tilde{q}')] ce qui est un absurde car il n'existe pas de points fixes de f_1 sur $[\tilde{q}', f_1(\tilde{q}')] .$ Ainsi, en prenant δ plus petit, si nécessaire, on peut admettre que $B(q; \delta)$ isole q de l'ensemble formé par toutes les courbes $\Gamma_{\tilde{q}}^{f_1}$ où $\tilde{q} \in \overline{\mathcal{O}_p(f_1, \dots, f_n, f_{n+1})}$.$

En plus, comme $q \in \overline{\mathcal{O}_{p'}(f_2, \dots, f_n, f_{n+1})}$ il s'en suit qu'il existe des suites d'entiers $(\xi_{2,\ell})_{\ell \geq 1}, \dots, (\xi_{n,\ell})_{\ell \geq 1}, (\xi_{n+1,\ell})_{\ell \geq 1}$ tels que

$$f_2^{\xi_{2,\ell}} \circ \dots \circ f_n^{\xi_{n,\ell}} \circ f_{n+1}^{\xi_{n+1,\ell}}(p') \rightarrow q.$$

Dans la suite, on va utiliser la notation

$$h_\ell := f_2^{\xi_{2,\ell}} \circ \dots \circ f_n^{\xi_{n,\ell}} \circ f_{n+1}^{\xi_{n+1,\ell}}.$$



Rappelons-nous que d'après lemme 5.3, on sait que $h_\ell(p')$ est un point capital pour $\mathcal{O}_{h_\ell(\tilde{p})}(f_1)$ où $\tilde{p} \in \overline{\mathcal{O}_p(f_1)}$.

Admettons maintenant qu'on a des segments du type $[f_1^{n_k}(h_\ell(\tilde{p})), f_1(h_\ell(\tilde{p}))]$ passant arbitrairement proches de q pour k et ℓ grands. Quitte à passer à une sous-suite de $(h_\ell)_{\ell \geq 1}$, on peut admettre que $h_\ell(\tilde{p}) \rightarrow \tilde{p}'$ car $\mathcal{O}_p(f_1, \dots, f_n, f_{n+1})$ est bornée et $\tilde{p} \in \overline{\mathcal{O}_p(f_1)}$. D'autre part, pour chaque $h_\ell(\tilde{p})$ fixé, on sait que $f_1^{n_k}(h_\ell(\tilde{p})) \rightarrow h_\ell(\tilde{p})$. Ainsi, on peut construire une sous-suite $(f_1^{n_{k_s}}(h_{\ell_s}(\tilde{p})))_{s \geq 1}$ de $(f_1^{n_k}(h_\ell(\tilde{p})))_{\ell \geq 1}$ telle que $f_1^{n_{k_s}}(h_{\ell_s}(\tilde{p})) \rightarrow \tilde{p}'$ et on a en plus les segments $[f_1^{n_{k_s}}(h_{\ell_s}(\tilde{p})), f_1(h_{\ell_s}(\tilde{p}))]$ qui passent arbitrairement proches de q pour s grand.

Dans ce cas, le segment $[f_1^{n_{k_s}}(h_{\ell_s}(\tilde{p})), f_1(h_{\ell_s}(\tilde{p}))]$ s'approche arbitrairement du segment $[\tilde{p}', f_1(\tilde{p}')] et pourtant $[\tilde{p}', f_1(\tilde{p}')] contient le point q ce qui est un absurde. Alors, quitte à diminuer $\delta > 0$ on peut admettre que la boule $B(q; \delta)$ isole le point q de toutes les courbes $\Gamma_{h_\ell(\tilde{p}), n_k}^{f_1}$ lorsque k et ℓ sont grands.$$

Maintenant, en prenant ℓ suffisamment grand, on déduit que le point q est un point capital pour $\mathcal{O}_{h_\ell(\tilde{p})}(f_1)$ où $\tilde{p} \in \overline{\mathcal{O}_p(f_1)}$. Donc, le point q est contenu dans l'enveloppe

convexe de $\mathcal{O}_p(f_1, \dots, f_n, f_{n+1})$ parce que $h_\ell(\tilde{p}) \in \overline{\mathcal{O}_{h_\ell(p)}(f_1)}$. En outre, on déduit que $\mathcal{O}_{h_\ell(\tilde{p})}(f_1) \subset \mathcal{O}_p(f_1, \dots, f_n, f_{n+1})$ et le théorème vient d'être prouvé lorsque le *Cas II-A* se produit.

Supposons maintenant que le *Cas II-A* n'arrive pas. Ainsi, le point q commun aux difféomorphismes

$$g_1, \dots, g_m, f_1, \dots, f_n, f_{n+1}$$

appartient à $\text{Conv}\left(\mathcal{O}_{p'}(f_2, \dots, f_n, f_{n+1})\right)$ et est un point capital pour $\mathcal{O}_{\tilde{p}'}(f_j)$ avec $j \in \{2, \dots, f_n, f_{n+1}\}$ et $\mathcal{O}_{\tilde{p}'}(f_j) \subset \text{Conv}\left(\overline{\mathcal{O}_{p'}(f_2, \dots, f_n, f_{n+1})}\right)$ où

$$p' \in \text{Conv}(\mathcal{O}_p(f_1)) \cap \text{Fix}(g_1, \dots, g_m; f_1).$$

Comme la $(f_2, \dots, f_n, f_{n+1})$ -orbite de p' est contenue dans

$$\text{Conv}(\mathcal{O}_p(f_1, \dots, f_n, f_{n+1}))$$

on déduit immédiatement que $q \in \text{Conv}\left(\mathcal{O}_p(f_1, \dots, f_n, f_{n+1})\right)$. De plus, il s'en suit pour les mêmes raisons que $\mathcal{O}_{\tilde{p}'}(f_j) \subset \text{Conv}\left(\overline{\mathcal{O}_p(f_1, \dots, f_n, f_{n+1})}\right)$ ce qui démontre que le point fixe q est un point capital pour $\mathcal{O}_{\tilde{p}'}(f_j)$ avec

$$\mathcal{O}_{\tilde{p}'}(f_j) \subset \text{Conv}\left(\overline{\mathcal{O}_p(f_1, \dots, f_n, f_{n+1})}\right)$$

et la preuve du théorème est achevée. \square

Le théorème 1.1 est un cas particulier du résultat à suivre.

Théorème 6.2. *Étant donné deux familles $\mathcal{F}, \mathcal{G} \subset \mathcal{V}$ des difféomorphismes telles que le sous-groupe de $\text{Diff}^1(\mathbb{R}^2)$ engendré par $\mathcal{F} \cup \mathcal{G}$ soit abélien et supposons qu'il existe un point $p \in \text{Fix}(\mathcal{G})$ dont la \mathcal{F} -orbite soit bornée. Alors, il existe un point $q \in \text{Fix}(\mathcal{F}, \mathcal{G})$ dans $\text{Conv}(\overline{\mathcal{O}_p(\mathcal{F})})$.*

Preuve. On commence par rappeler l'identité

$$\text{Fix}(\mathcal{G}) \cap \text{Fix}(\mathcal{F}) \cap \text{Conv}\left(\overline{\mathcal{O}_p(\mathcal{F})}\right) = \bigcap_{\substack{f \in \mathcal{F} \\ g \in \mathcal{G}}} \left\{ \text{Fix}(g) \cap \text{Fix}(f) \cap \text{Conv}\left(\overline{\mathcal{O}_p(\mathcal{F})}\right) \right\}$$

où $\text{Fix}(g) \cap \text{Fix}(f) \cap \text{Conv}\left(\overline{\mathcal{O}_p(\mathcal{F})}\right)$ est compacte. Le théorème 6.1 nous garantit que

$$\text{Fix}(\mathcal{G}') \cap \text{Fix}(\mathcal{F}') \cap \text{Conv}\left(\overline{\mathcal{O}_p(\mathcal{F})}\right) \neq \emptyset$$

lorsque les sous-familles $\mathcal{F}' \subset \mathcal{F}$ et $\mathcal{G}' \subset \mathcal{G}$ sont finies. Cela démontre que la famille des compacts

$$\left\{ \text{Fix}(g) \cap \text{Fix}(f) \cap \text{Conv}\left(\overline{\mathcal{O}_p(\mathcal{F})}\right) \right\}_{f \in \mathcal{F}, g \in \mathcal{G}}$$

a la propriété de l'intersection finie. Par conséquent,

$$\text{Fix}(\mathcal{G}) \cap \text{Fix}(\mathcal{F}) \cap \text{Conv}\left(\overline{\mathcal{O}_p(\mathcal{F})}\right) \neq \emptyset$$

ce qui donne le résultat recherché. \square

7. PREUVE DU LEMME TOPOLOGIQUE

La preuve du lemme topologique se fait en deux étapes.

Étape I.

Supposons tout d'abord que $\Gamma = \Gamma(a_1, \dots, a_n)$ a seulement un nombre fini de points d'auto-intersections. Dans ce cas, quitte à augmenter de façon convenable le nombre de sommets de la courbe, on peut admettre que si deux segments qui composent la courbe s'intersectent, l'intersection se fait sur les extrémités. Ainsi, chaque point de la courbe Γ est recouvert une seule fois, sauf les sommets qui peuvent l'être plusieurs fois.

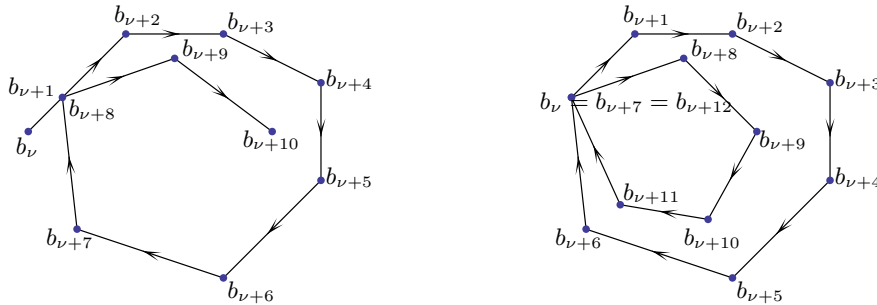
On considère maintenant un point b de Γ où on a des intersections. On a vu dans la section 3 comment modifier la courbe de telle façon à détruire toutes les intersections persistantes par de petites perturbations qui peuvent arriver au point b . Après avoir fait une première modification, la courbe initiale peut avoir d'autres points avec des auto-intersections persistantes non encore détruites.

Comme on a préservé l'orientation initiale des segments, l'indice de chaque point $q \in \mathbb{R}^2 - \Gamma$ par rapport à la courbe modifiée coïncide avec celui de la courbe initiale Γ .

Répetons le processus de déformation de la courbe initiale, un nombre fini de fois, jusqu'à éliminer tous les auto-intersections persistantes par de petites perturbations de Γ . On aura construit à la fin un nombre fini de courbes simples fermées $\gamma_1, \dots, \gamma_m$ satisfaisant les conditions (i), (ii), (iii) et (iv). Les justifications sont les suivantes.

Pendant le processus de déformation, par construction, les courbes restent toujours des courbes fermées du type $\Gamma(b_1, \dots, b_s)$, contenue dans Γ et chaque point du plan est recouvert le même nombre de fois par Γ et par Γ modifié; cela signifie que les conditions (i) et (ii) sont satisfaites.

De plus, l'angle entre deux segments quelconques de la courbe initiale qui s'intersectent est inférieur à $\pi/2$. Donc, si une des courbes $\gamma_1, \dots, \gamma_m$ possède au moins une auto-intersection non persistante par de petites perturbations, alors on déduit qu'il existe encore des intersections persistantes car la courbe est fermée et on est dans le plan. Cela contredit notre hypothèse sur la non existence d'intersections persistantes. On illustre cette situation dans les deux figures suivantes.



Si γ_i et γ_j s'intersectent avec $i \neq j$ alors les intérieurs des disques bordés par ces courbes ou bien sont disjoints, ou bien l'un d'entre eux est contenu dans l'autre, car il n'existe pas d'intersections persistantes. Cela démontre que la famille $\gamma_1, \dots, \gamma_m$ a la propriété (iii).

Pour la propriété (iv), on a déjà remarqué qu'au cours de chaque modification réalisée sur Γ , l'indice de chaque point $q \in \Gamma - \mathbb{R}^2$ n'a pas changé.

Il reste à prouver que la propriété (v) est satisfaite.

Pour cela, on considère une *famille maximale* de disques fermés dans \mathbb{R}^2

$$D_{n_1} \subsetneq D_{n_2} \subsetneq \cdots \subsetneq D_{n_k}$$

dont les bords sont des courbes de la famille $\gamma_1, \dots, \gamma_m$. Une telle famille de disques est maximale dans le sens suivant :

- il n'existe pas de disque fermé ni proprement contenu dans D_{n_1} , ni contenant proprement le disque D_{n_k} , dont le bord soit une courbe de la famille $\gamma_1, \dots, \gamma_m$;
- il n'existe pas de disque fermé proprement contenu dans $D_{n_{j+1}}$ et contenant proprement le disque D_{n_j} , dont le bord soit une courbe de la famille $\gamma_1, \dots, \gamma_m$ pour chaque $j \in \{1, \dots, k-1\}$.

Évidemment, pour chaque famille de disques fermés et emboîtés

$$D_{s_1} \subsetneq D_{s_2} \subsetneq \cdots \subsetneq D_{s_\ell}$$

dont les bords sont des courbes de la famille $\gamma_1, \dots, \gamma_m$, il existe toujours une famille maximale de disques fermés qui la contient.

S'il existe une famille maximale qui se réduit à un seul disque, alors la propriété (v) est vraie. Admettons maintenant que toute famille maximale a au moins deux disques. Supposons, par contradiction, que

$$\sum_{j=1}^k \text{Ind}_q(\partial D_{n_j}) = 0 \quad \text{pour tout } q \in \text{Int}(D_{n_1}) \quad (7.0.1)$$

et pour toute famille maximale de disques fermés $D_{n_1} \subsetneq D_{n_2} \subsetneq \cdots \subsetneq D_{n_k}$.

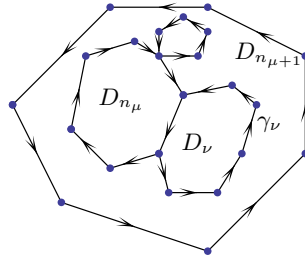
On sait que $\text{Ind}_q(\partial D_{n_k}) \neq 0$ pour tout $q \in \text{Int}(D_{n_1})$. Admettons, sans perte de généralité, que cet indice est positif et prenons $1 \leq \mu < k$ le plus grand entier tel que $\text{Ind}_q(\partial D_{n_\mu}) < 0$. Un tel entier existe à cause de l'égalité (7.0.1) et parce que $\text{Ind}_q(\partial D_{n_k}) > 0$ pour tout $q \in \text{Int}(D_{n_1})$.

La courbe Γ est connexe, donc il existe une courbe γ_ν de la famille $\gamma_1, \dots, \gamma_m$ contenue dans l'anneau $D_{n_{\mu+1}} - \text{Int}(D_{n_\mu})$, qui touche ∂D_{n_μ} et qui est distincte de ∂D_{n_μ} et $\partial D_{n_{\mu+1}}$. Comme l'angle entre deux segments de la courbe initiale qui s'intersectent est inférieur à $\pi/2$, les courbes ∂D_{n_μ} et $\partial D_{n_{\mu+1}}$ ne s'intersectent pas pour une raison d'orientation. D'autre part, la maximalité de la famille de disques nous permet de déduire que la courbe γ_ν borde un disque D_ν contenu dans $D_{n_{\mu+1}} - \text{Int}(D_{n_\mu})$. De plus, on aura aussi que ∂D_ν a l'orientation anti-horaire, comme $\partial D_{n_{\mu+1}}$.

Maintenant, on considère une famille maximale de disques fermés qui contient D_ν , $D_{n_{\mu+1}}$ et D_{n_k} :

$$\cdots \subsetneq D_\nu \subsetneq \cdots \subsetneq D_{n_{\mu+1}} \subset \cdots \subset D_{n_k}. \quad (7.0.2)$$

Dans cette famille, on peut avoir des disques qui contiennent proprement D_ν et qui sont contenus proprement dans $D_{n_{\mu+1}}$, mais les bords de ces disques sont orientés dans le sens anti-horaire vu que tous ces disques doivent toucher le disque D_{n_μ} .



Maintenant, on répète pour la famille (7.0.2) le même raisonnement utilisé pour la première famille maximale de disques. De cette façon, la condition (7.0.1) pour les familles maximales de disques nous montrera, après un nombre fini de pas, que la famille $\gamma_1, \dots, \gamma_m$ possède plus que m courbes, ce qui nous donne la contradiction finale cherchée et démontre que la famille $\gamma_1, \dots, \gamma_m$ a la propriété (v).

Étape II.

Plaçons-nous sur le cas général. Quitte à augmenter le nombre de sommets de la courbe, on peut admettre que si deux segments $[a_i, a_{i+1}]$ et $[a_j, a_{j+1}]$ qui composent la courbe initiale s'intersectent, alors nous avons l'une des deux possibilités :

- soit l'intersection se réduit à un point unique et dans ce cas le point est l'extrémité commun aux deux segments ;
- soit l'intersection contient plus d'un point et dans ce cas les segments coïncident.

Considérons alors un segment $[a, b]$ qui compose la courbe $\Gamma = \Gamma(a_1, \dots, a_n)$ et supposons qu'il est recouvert exactement $k \geq 2$ fois par la courbe Γ . Avec une petite perturbation de Γ , on peut séparer le segment $[a, b]$ dans $2k$ segments $\{[a, \lambda_\ell], [\lambda_\ell, b]\}_{1 \leq \ell \leq k}$ de telle façon que les éléments de la famille

$$\{[a, \lambda_\ell] \cup [\lambda_\ell, b]\}_{1 \leq \ell \leq k}$$

s'intersectent deux à deux seulement dans les points a, b et que $([a, \lambda_\ell] \cup [\lambda_\ell, b]) \cap \Gamma = \{a, b\}$ pour tout $\ell \in \{1, \dots, k\}$.



Dans cette construction, on suppose aussi que $[a, \lambda_\ell] \cup [\lambda_\ell, b]$ est toujours à gauche de $[a, \lambda_{\ell+1}] \cup [\lambda_{\ell+1}, b]$ où $\ell \in \{1, \dots, k-1\}$. De plus, comme on a fait une perturbation petite, on peut supposer que la courbe Γ ne passe pas par la région limitée par les segments $[a, \lambda_\ell], [\lambda_\ell, b], [a, \lambda_{\ell+1}], [\lambda_{\ell+1}, b]$. Nous montrons une telle perturbation dans les

deux figures ci-dessus. Les nombres à côté de chaque segment indiquent le nombre de fois que le segment est recouvert par la courbe Γ .

On répète ce processus avec tous les segments qui sont recouverts plus d'une fois par la courbe initiale. On obtient une courbe $\Gamma(a'_1, \dots, a'_{n'})$ dans les mêmes conditions qu'on avait dans l'*Étape I* et alors, on considère la décomposition de cette courbe dans une famille de courbes simples fermées $\gamma'_1, \dots, \gamma'_{m'}$ satisfaisant les conditions du lemme.

Finalement, on remarque que chacun des segments $[a, \lambda_\ell], [\lambda_\ell, b]$ qui apparaît dans la perturbation du segment $[a, b]$ appartient à une unique courbe simple fermée γ de la décomposition $\gamma'_1, \dots, \gamma'_{m'}$. Dans ce cas, on peut faire une isotopie de $[a, \lambda_\ell] \cup [\lambda_\ell, b]$ au segment original $[a, b]$, à extrémités a, b fixes et préservant encore la propriété que la courbe reste toujours simple et fermée. De cette façon, on obtient la décomposition cherchée et la preuve du lemme est terminée.

RÉFÉRENCES

- [1] C. Bonatti, *Un point fixe commun pour des difféomorphismes commutants de S^2* , Ann. of Math. (2) **129** (1989), no. 1, 61–69.
- [2] ———, *Difféomorphismes commutants des surfaces et stabilité des fibrations en tores*, Topology **29** (1990), no. 1, 101–126.
- [3] J. Franks, M. Handel, and K. Parwani, *Fixed points of abelian actions on S^2* , Ergodic Theory Dynam. Systems **27** (2007), no. 5, 1557–1581.